

# Projeto de Circuitos Fotônicos Integrados

Circuitos fotônicos básicos

Atividade 3 – filtros passa-banda MZI SOI aplicados a WDM e (de-)multiplexadores

Lucivaldo Barbosa de Aguiar Junior



Centro de Competência Embrapii em  
Hardware Inteligente para a Indústria

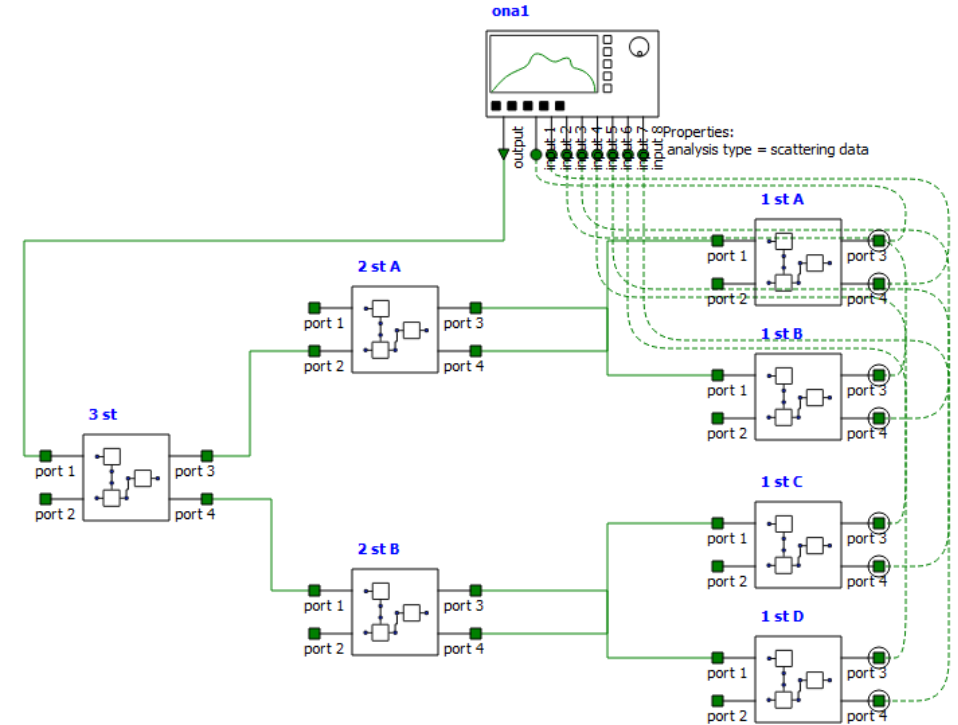
CURSOS, CAPACITAÇÃO E TREINAMENTOS



# Sumário



- Introdução;
- Fundamentação teórica;
- Metodologia;
- Filtro Lattice genérico via Python;
- Caso ideal;
- Filtros *SAP*, 4ª ordem e ordem mista com itens do PDK;
- Comparação entre o *SAP* e o utilizado;
- DRC;
- GDS;
- Referências.

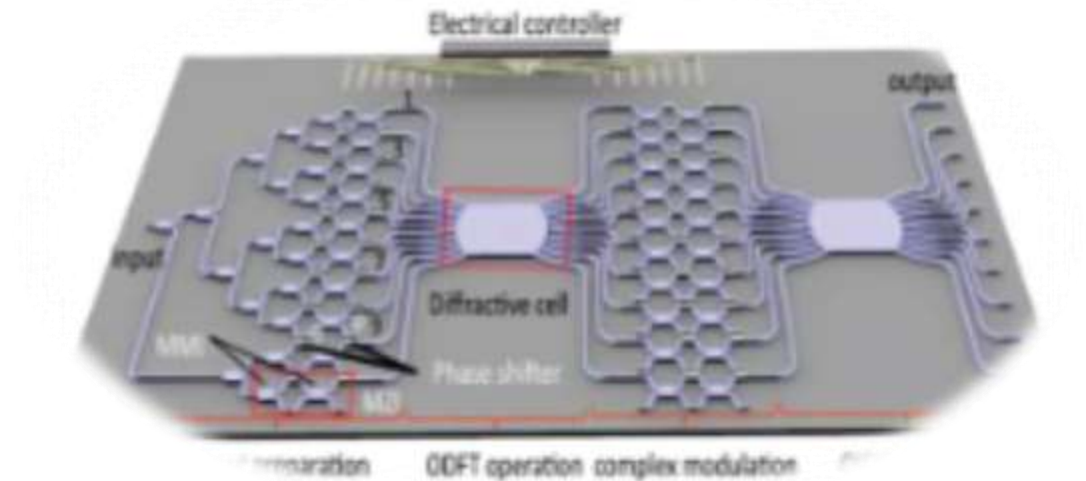


# Introdução



De-multiplexadores têm inúmeras aplicações em diversas áreas

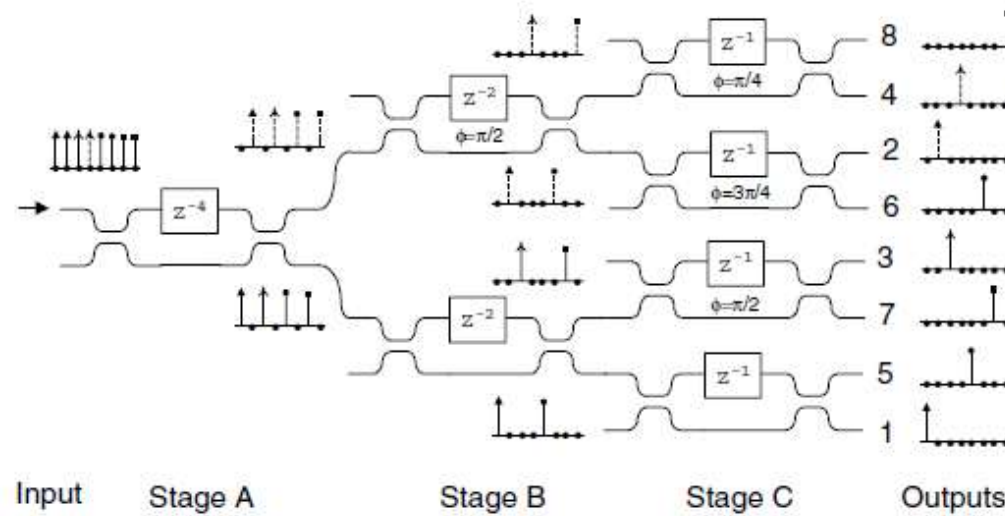
- Transmissão a longas distâncias;
- Roteamento de diferentes canais para fibras;
- Computação neuromórfica;
- Redes ópticas;
- Etc.



# Fundamentação teórica

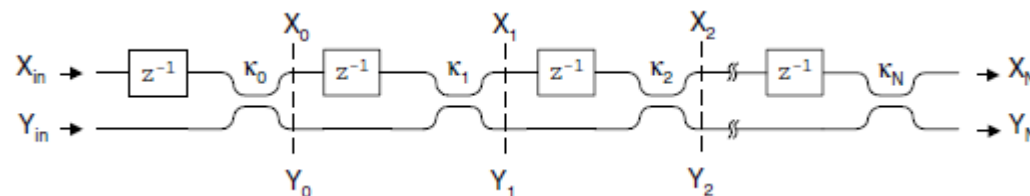


Entrada e saídas de demultiplexador 1:8 ideal



- Aumentar a ordem dos filtros aumenta a banda de passagem plana.
- **K** e  $\Phi$  são obtidos numericamente por métodos recursivos.

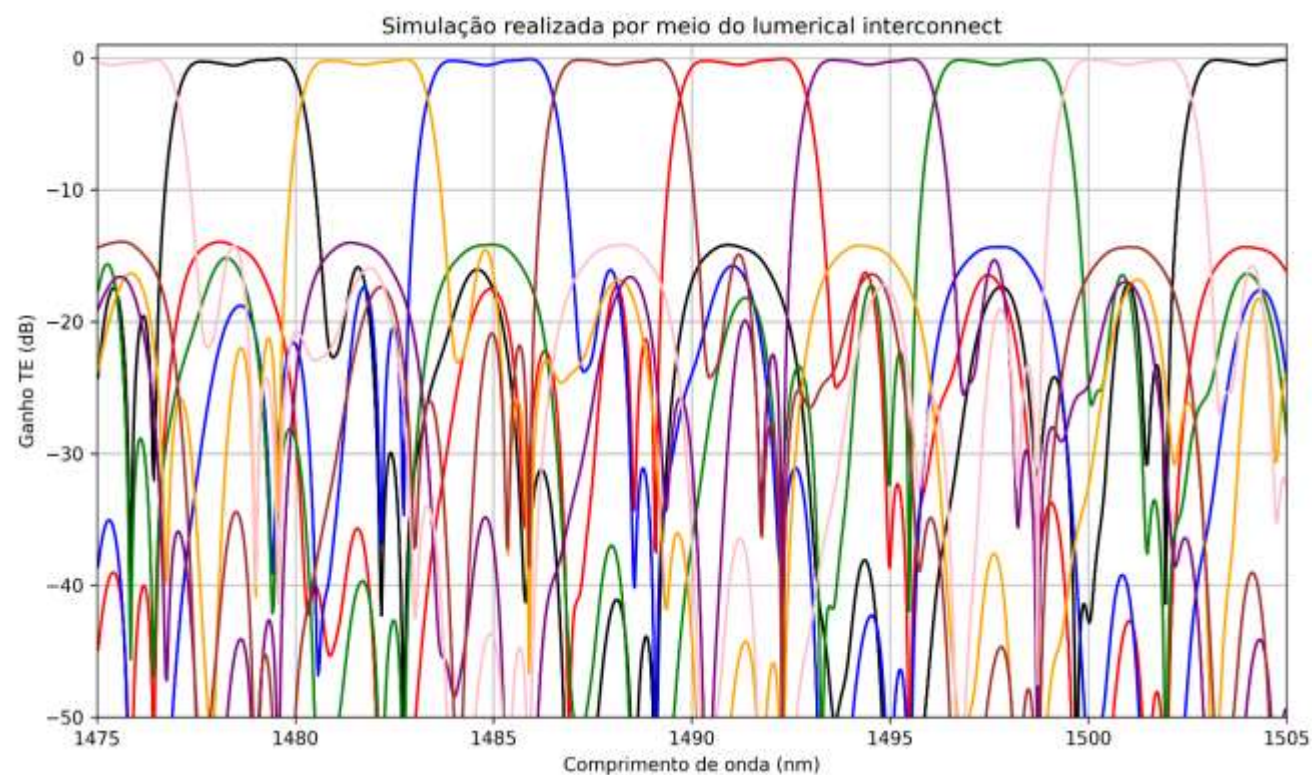
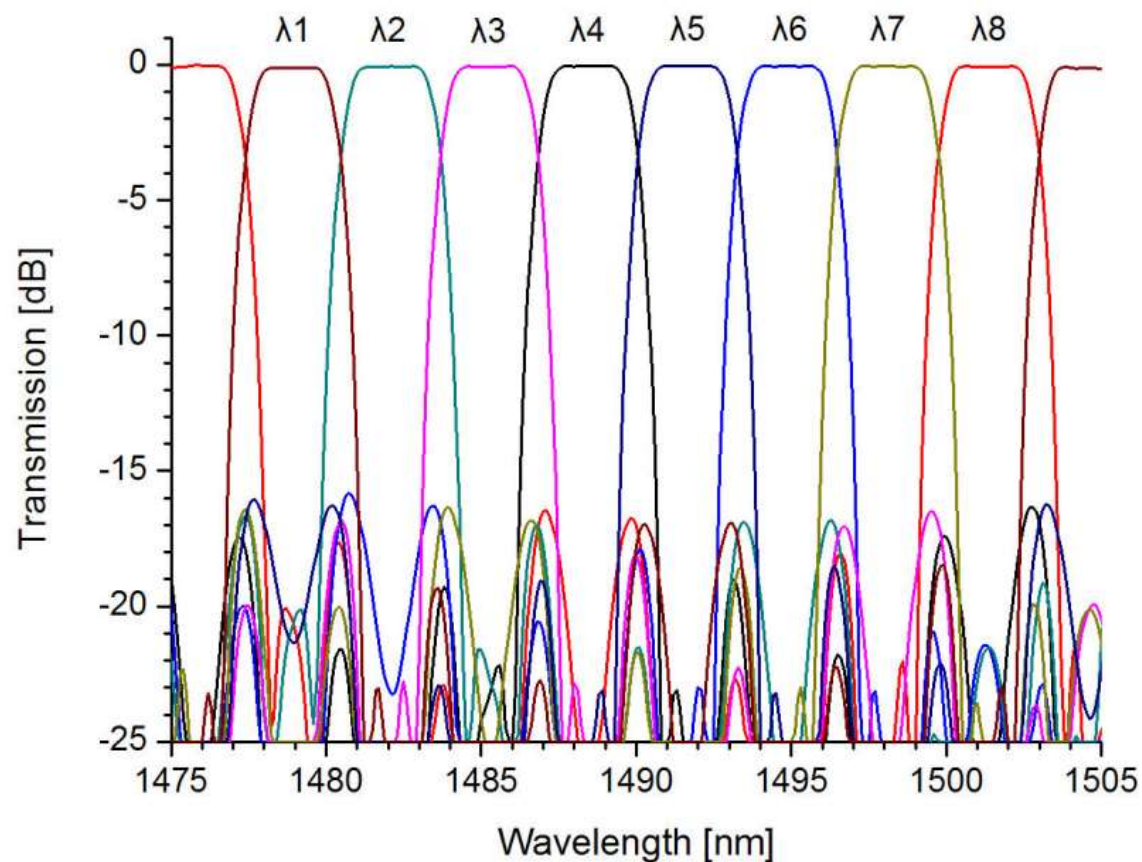
Filtro Lattice de 3ª ordem



# Metodologia



Reproduzir os resultados da referência utilizada, quando possível, com os mesmos métodos e equações. Com as equações e métodos validados, são feitos os ajustes necessários ao escopo atual.





# Filtro Lattice genérico



```
def MZILatticefilter(icApi, neff, ng, L, delayLengths, k, name, nLattice):

    icApi.switchtolayout()
    # Adding and positioning the dcs and wgs
    for i in range(nLattice):
        icApi.addelement('Waveguide Coupler')
        name_dc = f'dc{i + 1}'
        icApi.set('name', name_dc)
        icApi.setposition(name_dc, 400 + 400 * i, 100)
        icApi.set('coupling coefficient 1', k[i])

    for i in range((nLattice-1)*2):
        icApi.addelement('Straight Waveguide')
        name_wg = f'wg{i + 1}'
        icApi.set('name', name_wg)
        icApi.set('effective index 1', neff)
        icApi.set('group index 1', ng)

        if i % 2 == 0:
            compr = L
        else:
            idx = i // 2
            compr = delayLengths[idx]
        icApi.set('length', compr)

        grupo = i // 2

        x = 600 + 400 * grupo

        y = 60 if i % 2 == 0 else 160

        icApi.setposition(name_wg, x, y)
```

```
# connecting em all together
for i in range(nLattice-1):
    # dcs to wgs
    icApi.connect(f'dc{i + 1}', 'port 3', f'wg{2 * i + 1}', 'port 1')
    icApi.connect(f'dc{i + 1}', 'port 4', f'wg{2 * i + 2}', 'port 1')
    # wgs to dcs
    icApi.connect(f'wg{2 * i + 1}', 'port 2', f'dc{i + 2}', 'port 1', )
    icApi.connect(f'wg{2 * i + 2}', 'port 2', f'dc{i + 2}', 'port 2', )

# criando compound element
icApi.select('dc1')
for i in range(1, nLattice+1, 1):
    icApi.shiftselect(f'dc{i}')
for j in range(0, (nLattice-1)*2, 1):
    icApi.shiftselect(f'wg{j + 1}')
```

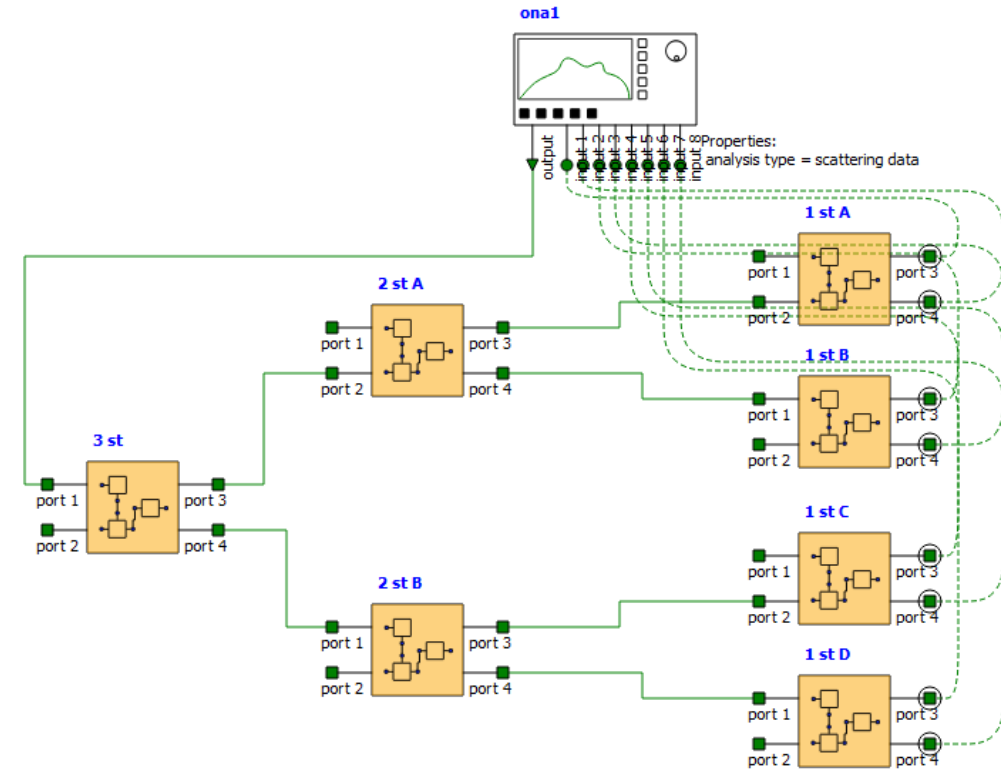
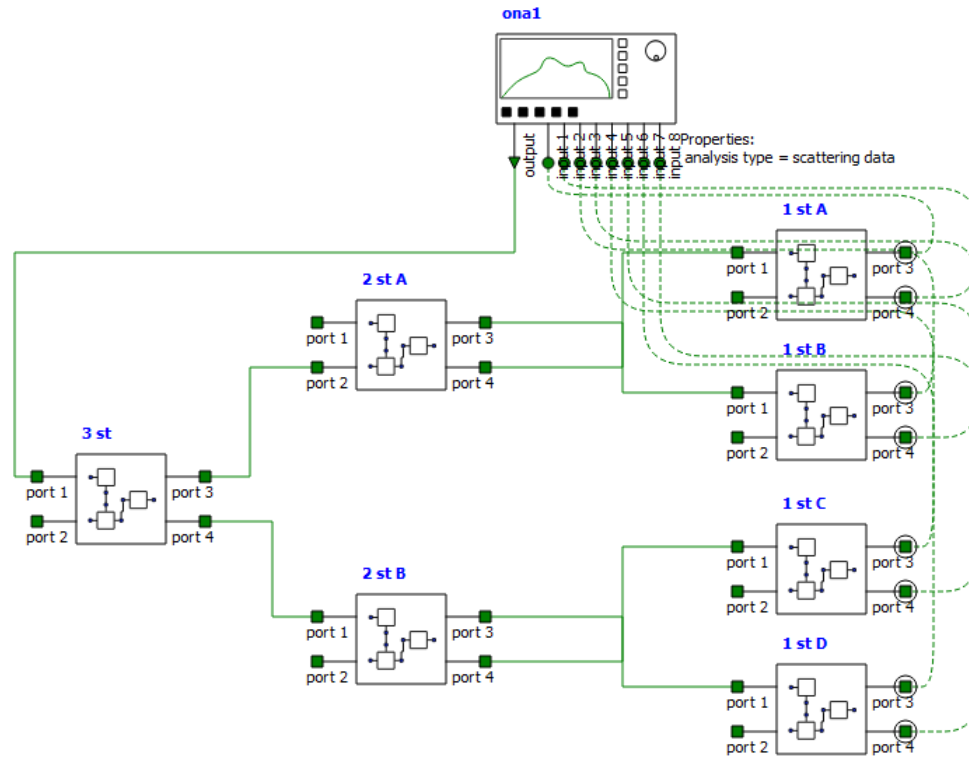
```
icApi.createcompound()
icApi.select('COMPOUND_1')
icApi.set('name', name)
icApi.addport(name, 'port 1', 'Bidirectional', 'Optical Signal', 'Left', 0.25)
icApi.addport(name, 'port 2', 'Bidirectional', 'Optical Signal', 'Left', 0.75)

icApi.addport(name, 'port 3', 'Bidirectional', 'Optical Signal', 'Right', 0.25)
icApi.addport(name, 'port 4', 'Bidirectional', 'Optical Signal', 'Right', 0.75)

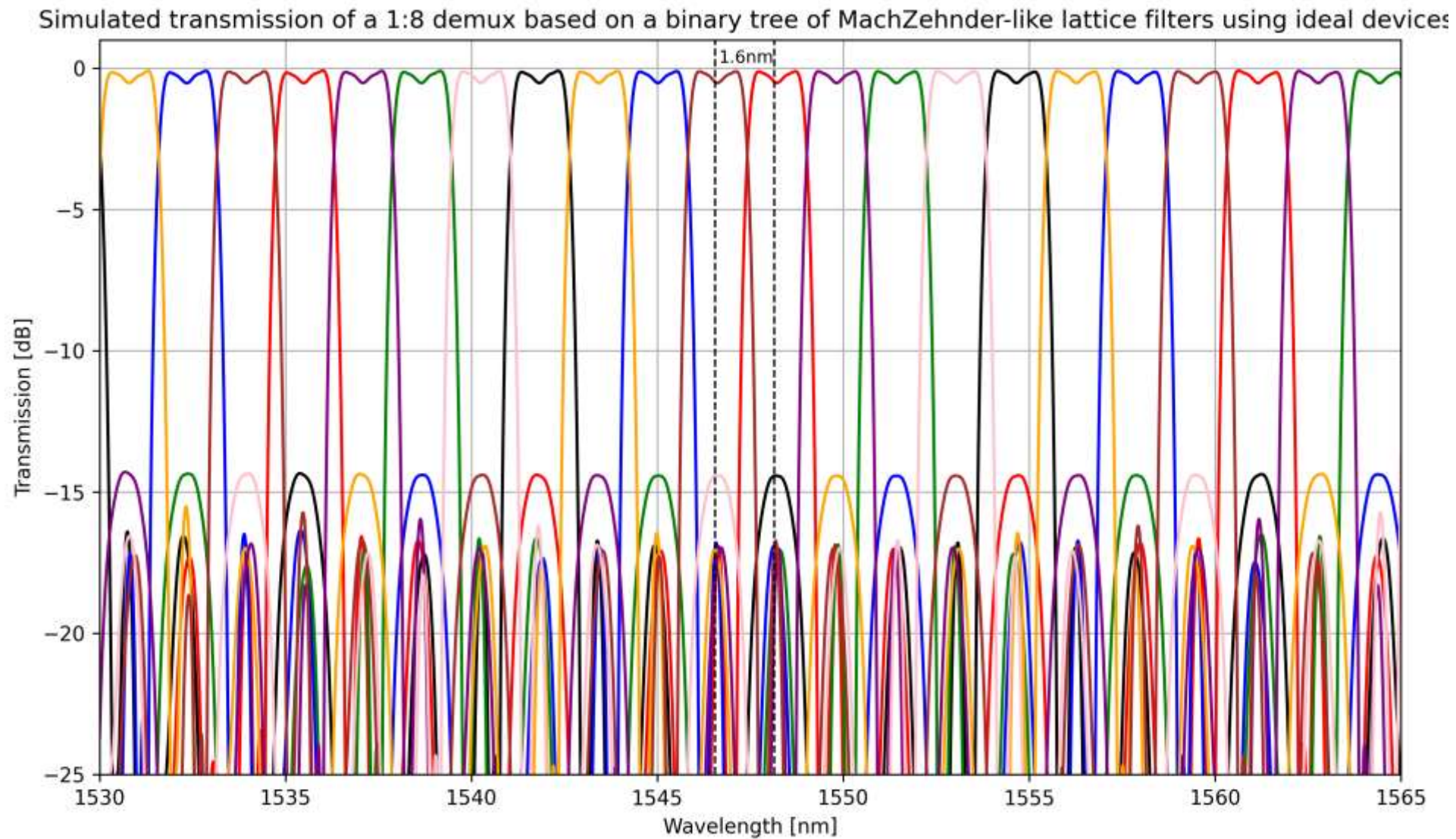
icApi.groupscope(name)
icApi.connect('RELAY_1', 'port', 'dc1', 'port 1')
icApi.connect('RELAY_2', 'port', 'dc1', 'port 2')
icApi.connect('RELAY_3', 'port', f'dc{nLattice}', 'port 3')
icApi.connect('RELAY_4', 'port', f'dc{nLattice}', 'port 4')

icApi.refresh()
return 0
```

# Filtro Lattice genérico – resultado no interconnect



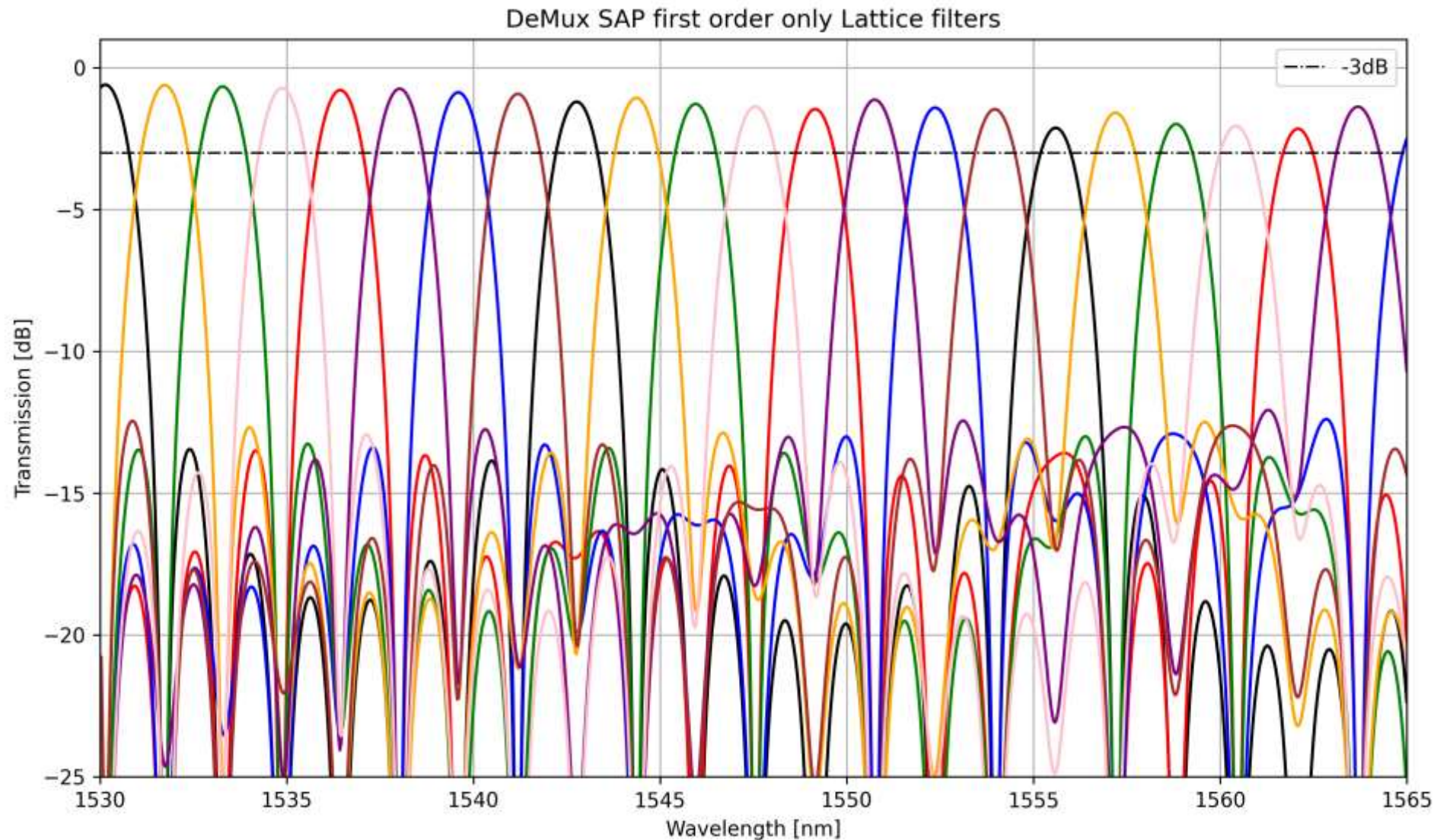
## Caso ideal – gráfico de transmissão





## PDK SiEPIC– filtro *SAP*

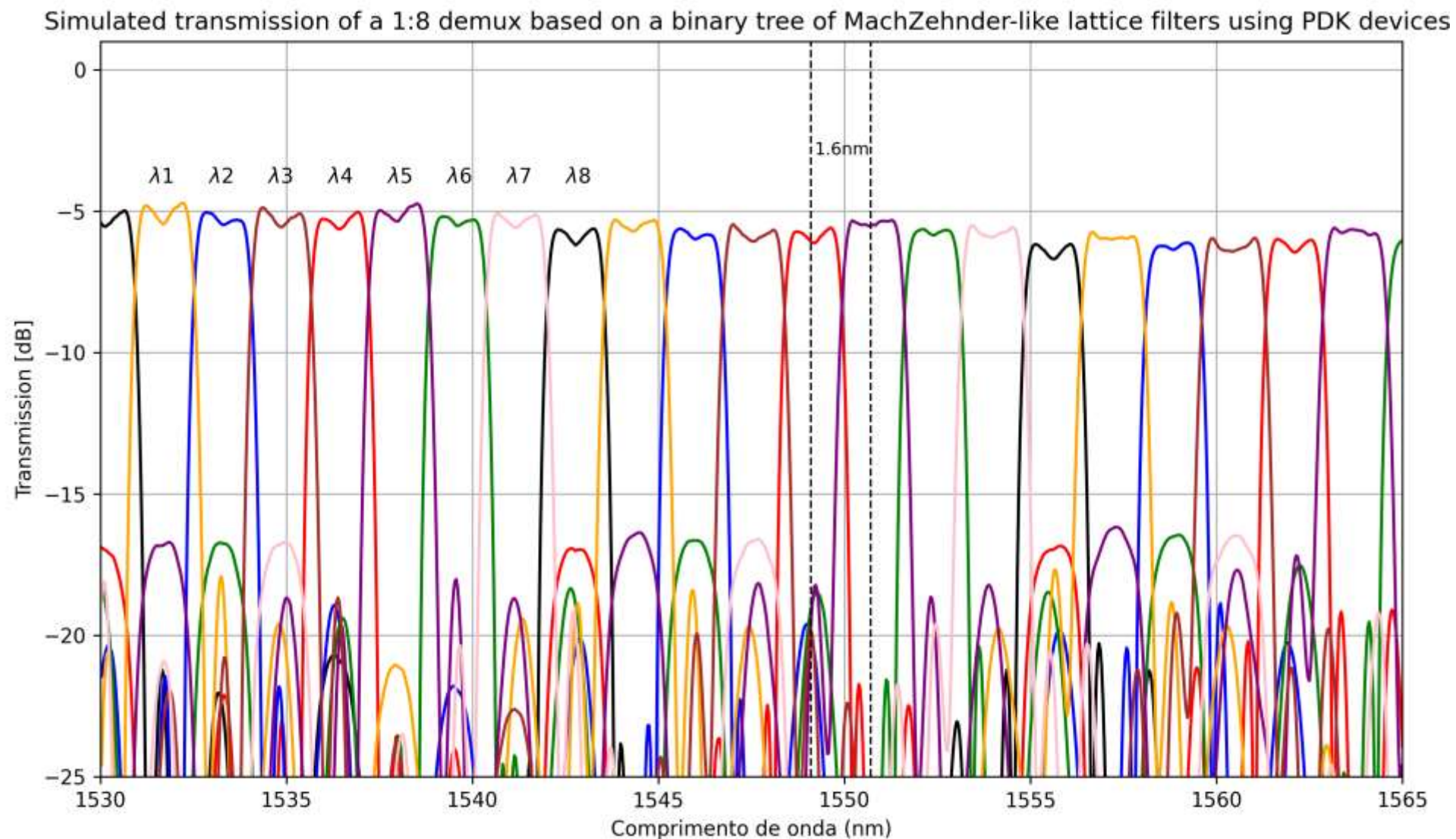
- Feito utilizando apenas filtros de 1ª ordem.



## PDK SiEPIC– filtros de 4ª ordem



- Feito utilizando apenas filtros de 4ª ordem.

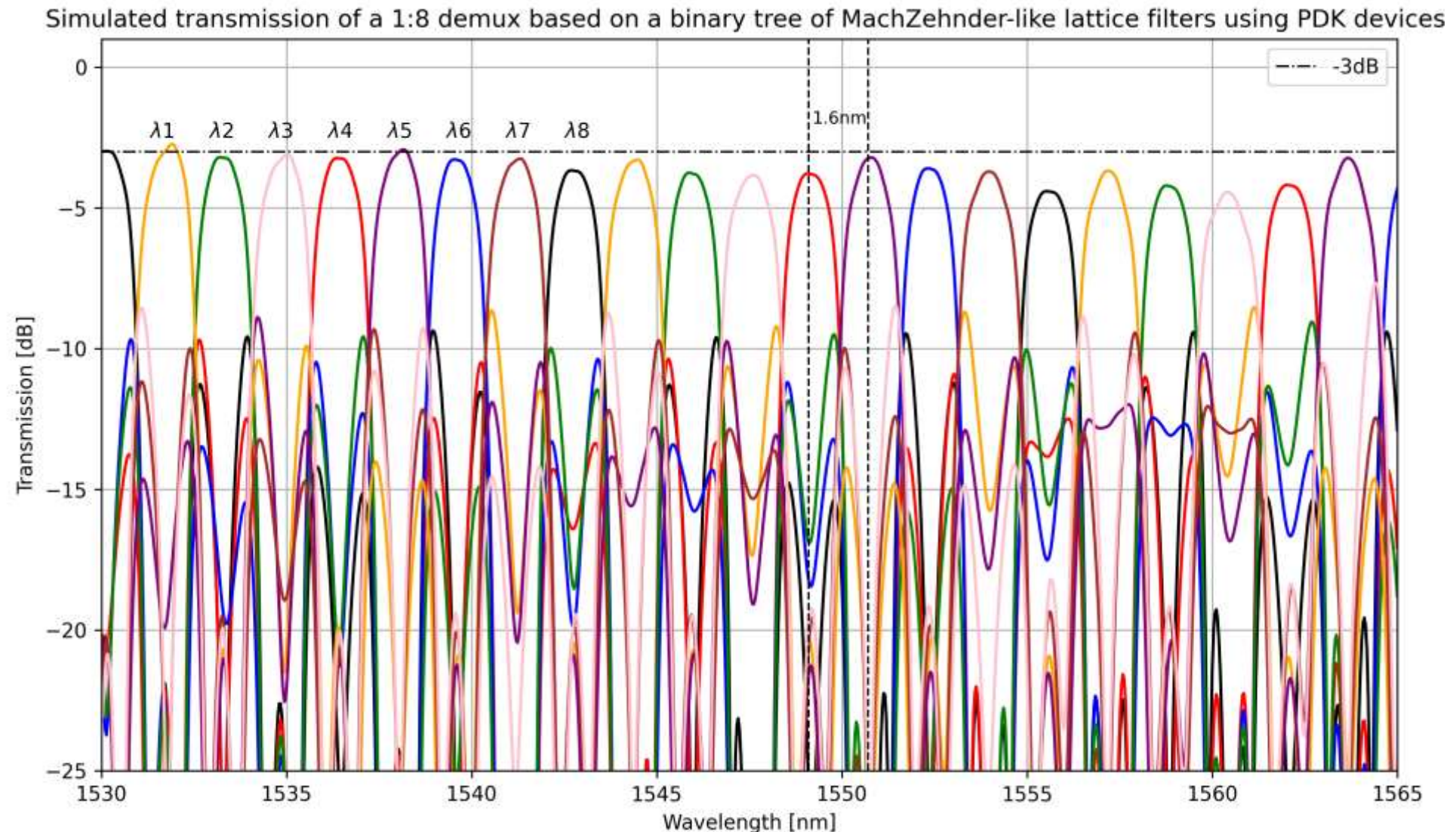




## PDK SiEPIC– filtros de ordem mista

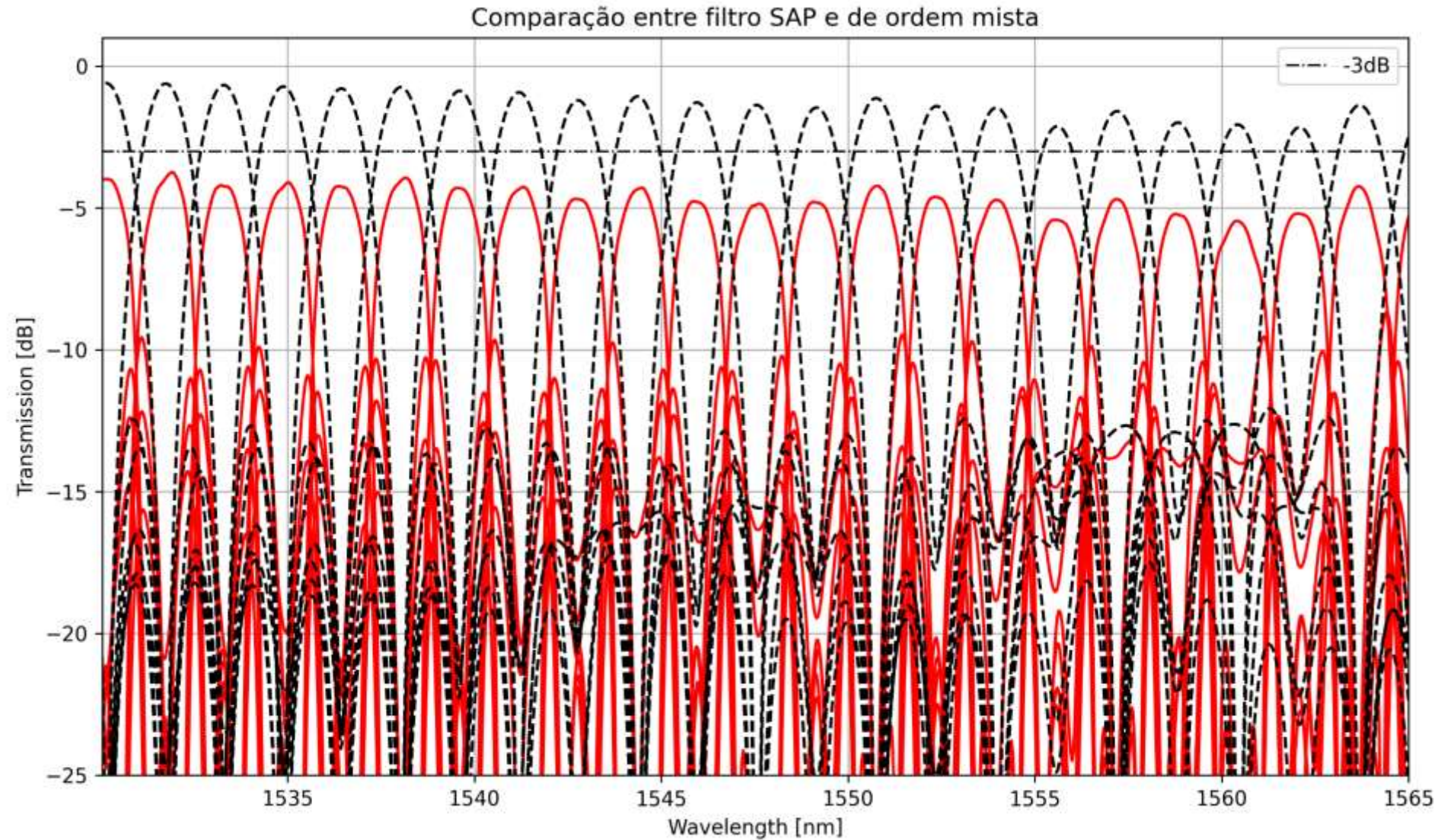


- O filtro de entrada é de 4ª ordem e o restante de 2ª ordem.



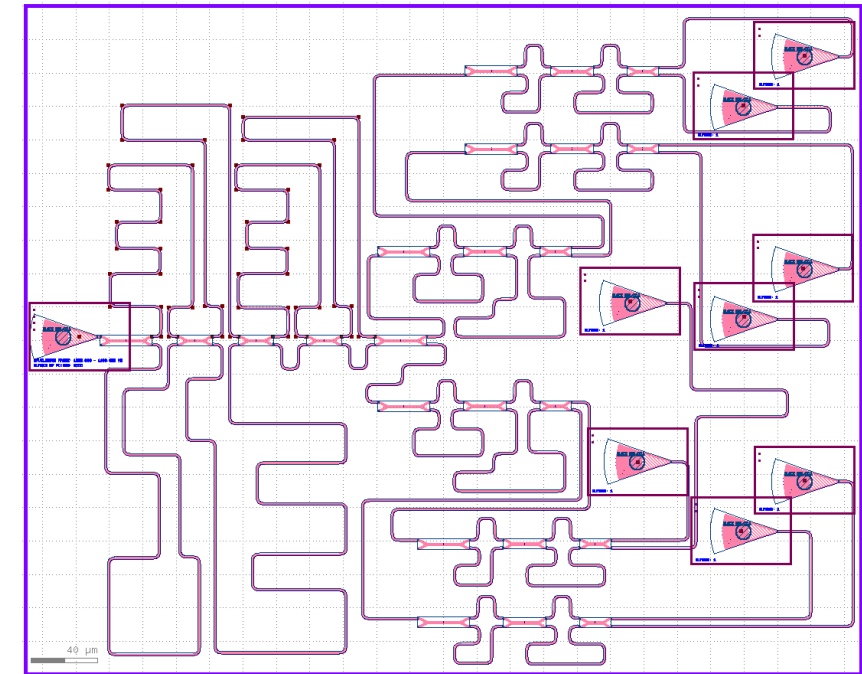
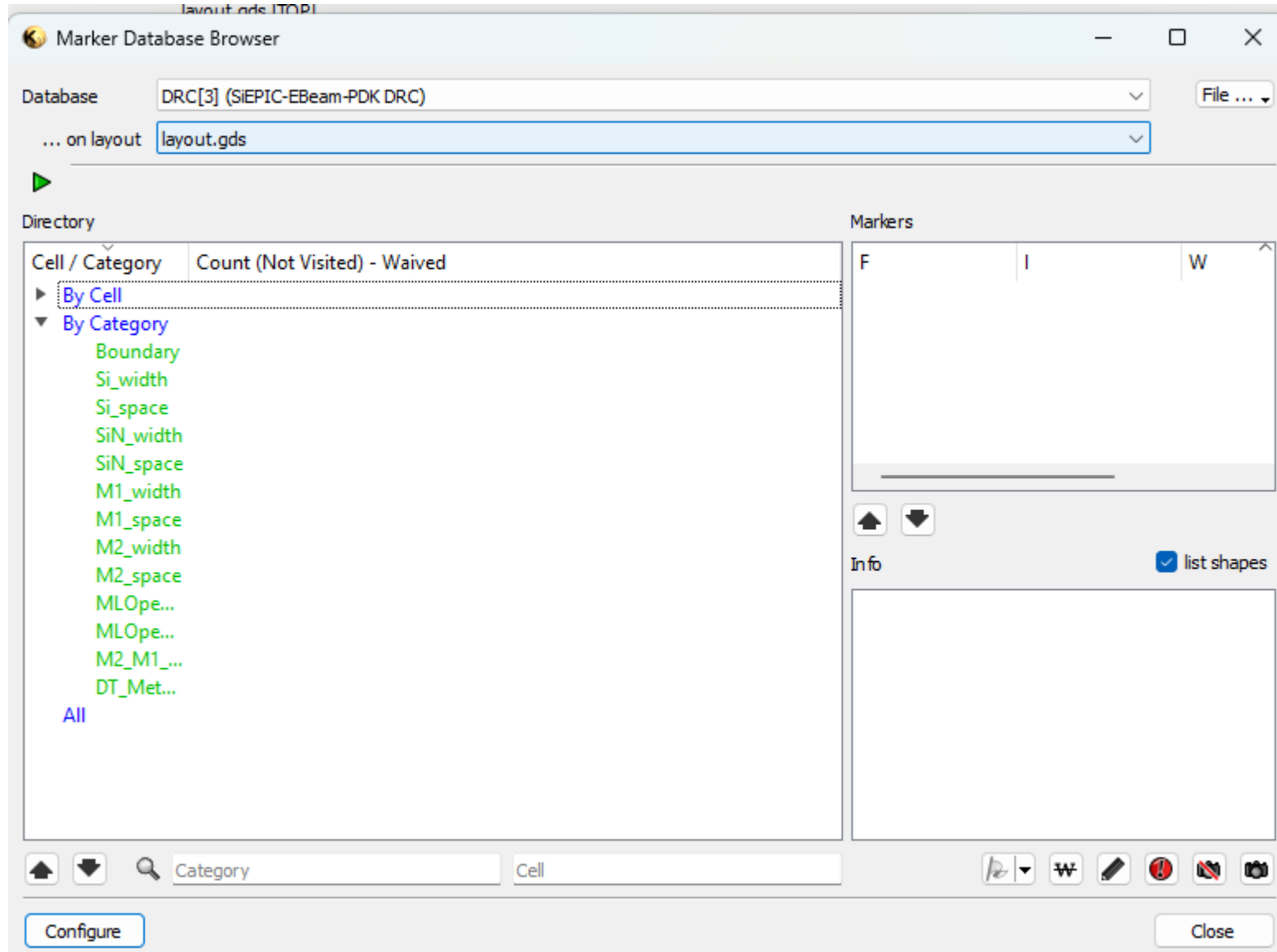


# PDK SiEPIC– comparação dos filtros *SAP* e de ordem mista

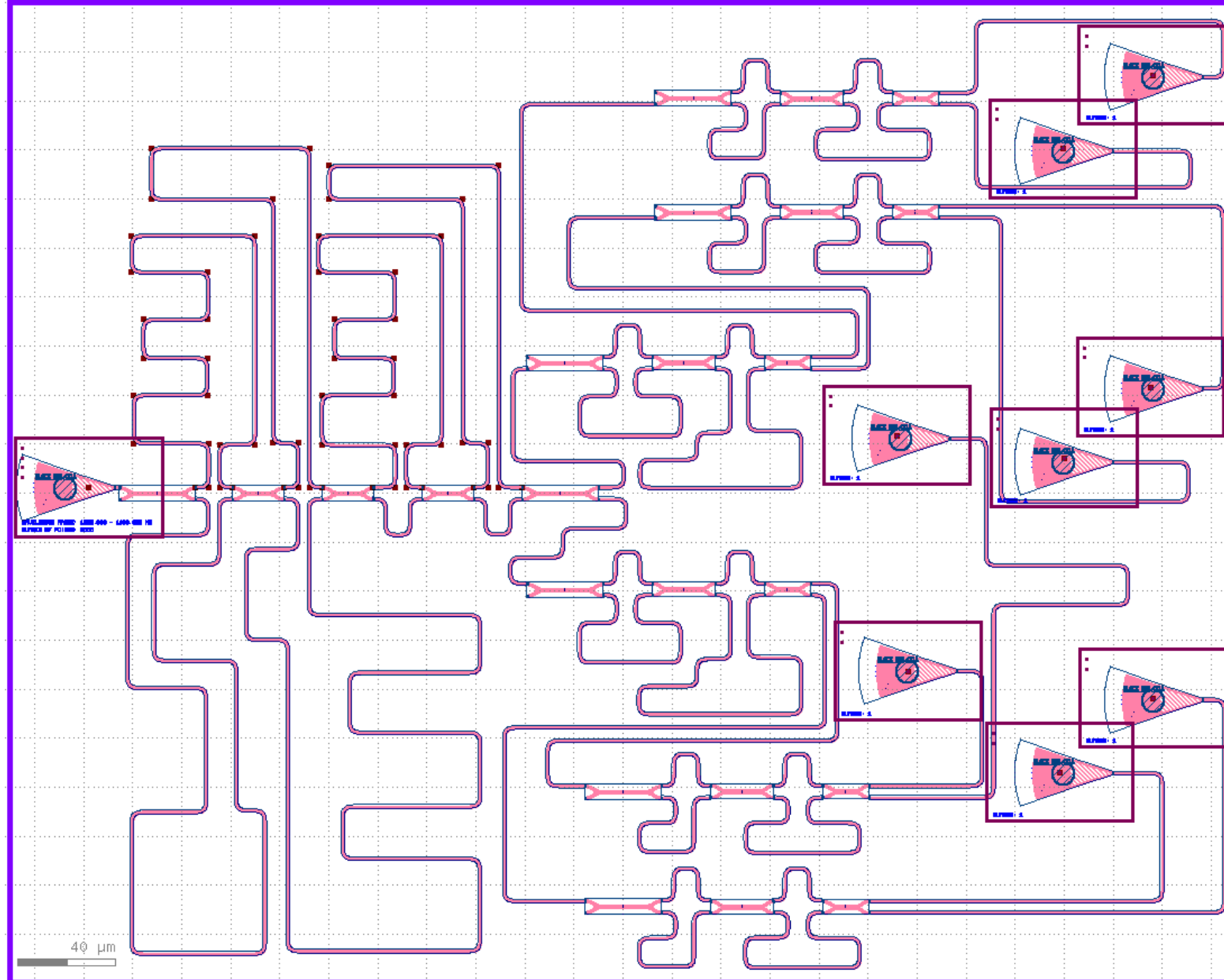




# GDS- DRC



## GDS- dispositivos do PDK SiEPIC



# Referências



ANSYS. Compound Element (COMPOUND) - INTERCONNECT Element. Disponível em: <https://optics.ansys.com/hc/en-us/articles/360036109554-Compound-Element-COMPOUND-INTERCONNECT-Element> Acesso em: Abril de 2025.

ANSYS. Lumerical scripting language. Disponível em: <https://optics.ansys.com/hc/en-us/articles/360037228834-Lumerical-scripting-language-By-category>. Acesso em: Abril de 2025.

CHROSTOWSKI, Lukas; HOCHBERG, Michael E. *Silicon photonics design*. Cambridge: Cambridge University Press, 2015.

HORST, F.; GREEN, W. M. J.; ASSEFA, S.; SHANK, S. M.; VLASOV, Y. A.; OFFREIN, B. J. Cascaded Mach-Zehnder wavelength filters in silicon photonics for low loss and flat pass-band WDM (de-)multiplexing. *Optics Express*, v. 21, n. 10, p. 11652–11658, May 2013. DOI: 10.1364/OE.21.011652

OKAMOTO, Katsunari. *Fundamentals of optical waveguides*. 3rd ed. [S.l.]: Academic Press/Elsevier, 2022. ISBN 978-0-12-815601-8.

# Projeto de Circuitos Fotônicos Integrados



Centro de Competência Embrapii em  
Hardware Inteligente para a Indústria



[virtus.ufcg.edu.br/cc](http://virtus.ufcg.edu.br/cc)

Circuitos fotônicos básicos

Atividade 2 – filtros passa-banda MZI SOI  
aplicados a WDM e (de-)multiplexadores

**Lucivaldo Barbosa de Aguiar Junior**